

## 水深急変による孤立波の碎波限界について

岐阜大学 正会員 安田 孝志  
 岐阜大学 学生員 ○原 正典

1.はじめに 碎波現象を波浪制御に利用するには、種々の境界条件の下での碎波限界を明らかにすることが必要となる。ここでは、制御の対象となる暴浪の一波を孤立波として扱い、ステップおよび潜堤上を通過する孤立波の碎波変形をBIMによる数値シミュレーションによって調べ、碎波限界を明らかにしたい。

2.計算方法および条件 ここで用いるBIMはDold・Peregrineの手法を基に著者らによって開発されたものであり、その精度は碎波限界まで含めて既に実証されている<sup>1)</sup>。計算は、一定水深の下で矩形潜堤の高さRおよび幅Bを種々に変化させ、その上を任意の振幅を持つ孤立波を通過させて行なった。

3.潜堤上の碎波変形 潜堤上の碎波についてはステップ上のものと同じであるため、ここでは、潜堤通過後の碎波を取り上げる。図-1および2はその代表例である。前者は初期振幅 $A_0/h=0.4$ の孤立波を $R/h=0.5$ および $B/h=5.0$ の潜堤上を通過させたものであり、前面にoverturningが顕れる通常の碎波変形となっている。これに対し、後者は $A_0/h=0.5$ の孤立波を $R/h=0.7$ および $B/h=1.0$ の潜堤上を通過させたときの碎波変形を示し、背面にoverturningが顕れている。ただし、波峯部はoverturningせずそのまま透過するため、通常の透過波と図-1に示すような前面がoverturningする碎波との中間的な波として位置付けられる。

4.潜堤による碎波限界 図-3は、ステップ上で碎波する孤立波のステップ前端から碎波点までの距離 $X_b/h$ とステップ高さR/hとの関係を示したものである。これから、 $X_b/h$ はR/hおよび $A_0/h$ によって決まり、潜堤の幅B/hが $X_b/h$ よりも大きければ、潜堤はステップと見なせることがわかる。したがって、ここで対象としている潜堤はいずれも $B/h < X_b/h$ である。図-4は、 $B/h=3.4$ の潜堤に対する孤立波の碎波の有無を示したものである。図中の実線は碎波と非碎波の境界線を示し、これを上回る $A_0/h$ を持つ孤立波は潜堤通過後に必ず碎波する。図-5は、このようにして求めた $B/h=1.0, 3.4$ および $5.0$ の潜堤に対する碎波限界に加えてステップの場合の碎波限界を示したものである。 $A_0/h$ は碎波・非碎波の臨界値を示し、潜堤幅が広くなるに従って、また潜提高が増すに従って孤立波に加わるせつ動の総量が増し、より小さな振幅でも碎波するようになることがわかる。図-6は、各潜堤( $B/h=1.0, 3.4$ および $5.0$ )における碎波限界峯高を初期水深hで無次元化し、B/hをパラメタとしてR/hとの関係を示したものである。なお、比較のためにステップによるものも示してある。一様水深場での孤立波の限界峯高 $\zeta_b/h$ は0.78であり、ほとんどの結果がこれを下回っており、R/hおよびB/hの値が共に小さくなるに従って $\zeta_b/h=0.78$ に収束する傾向のあることがわかる。これから、ステップや潜堤による碎波は水深急変によって孤立波に加えられるせつ動の総量に依っており、その量はB/hおよびR/hによって規定されていることがわかる。図-7は、図-6と同じ碎波限界峯高 $\zeta_b$ をステップおよび潜堤上の水深dで無次元化し、R/hとの関係を示したものである。いずれの $\zeta_b/d$ の値も0.78を大きく上回っており、 $B/h=1.0$ の場合では $\zeta_b/d$ は2.6近い値となっている。このことは、潜堤の幅が狭くなると碎波に必要なせつ動の総量を確保するためにR/hが増大して潜堤上の水深が浅くなり、結果的に $\zeta_b/d$ の値が増大することを示している。これは、潜堤の幅が薄くなるに従って、より大きな $\zeta_b/d$ にならないと碎波せずに透過することを示しており、幅の薄い潜堤で碎波させることの困難がよくわかる。図-8は、碎波限界峯高 $\zeta_b$ の初期振幅 $A_0$ に対する比をR/hとの関係で示したものである。これは、碎波に至るまでにどれだけ峯高が増幅されるかを示すものであり、潜堤やステップによる浅水効果を示したものと言える。 $\zeta_b/A_0$ がR/hよりもむしろB/hに大きく依存している点に着目すると、水深が浅くなると同時にそれがどれだけの範囲にわたって続くかということ、すなわち、せつ動の総量が浅水効果として重要なことがわかる。

参考文献 1)安田・原・田中:海岸工学論文集 第36巻, 1989, pp. 51-55.

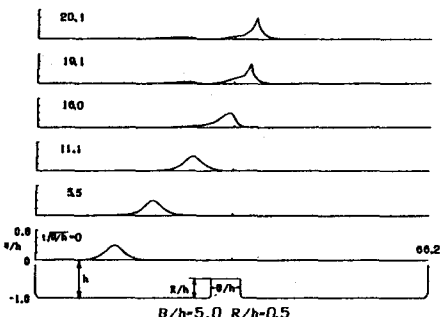


図-1 潜堤による孤立波の碎波  
( $A_0/h=0.4$ ,  $R/h=0.5$ ,  $B/h=5.0$ )

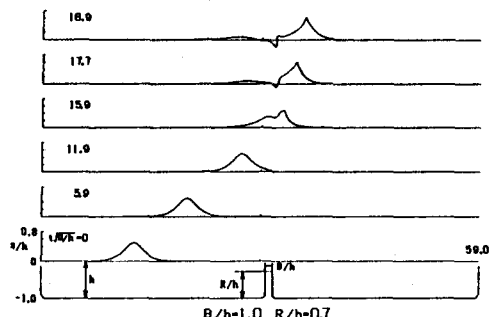


図-2 潜堤による孤立波の碎波  
( $A_0/h=0.5$ ,  $R/h=0.7$ ,  $B/h=1.0$ )

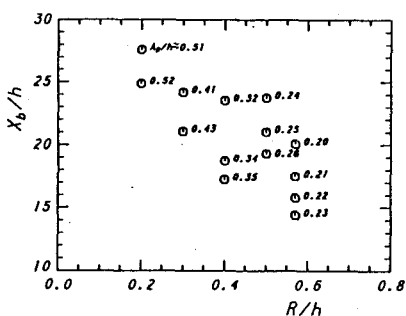


図-3 ステップ上の碎波位置

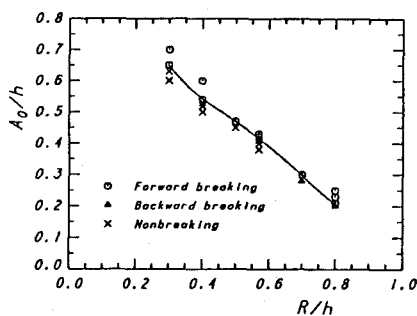


図-4 潜堤による孤立波の碎波の有無

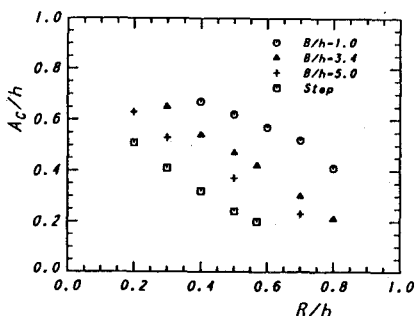


図-5 潜堤によって碎波する孤立波の臨界初期振幅

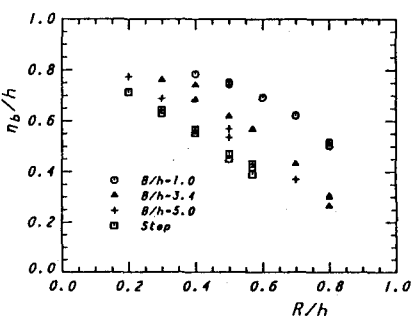


図-6 碎波限界峰高の初期水深に対する比( $\eta_b/h$ )

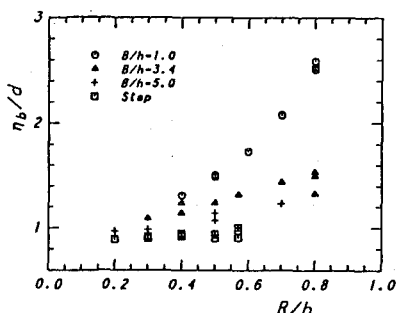


図-7 碎波限界峰高の潜堤上水深に対する比( $\eta_b/d$ )

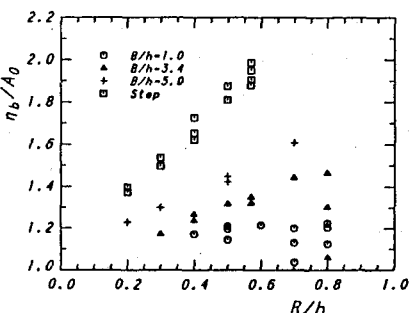


図-8 碎波限界峰高の初期振幅に対する比( $\eta_b/A_0$ )